网络出版时间: 2017 - 9 - 8 12: 37 网络出版地址: http://kns.cnki.net/kcms/detail/34.1065. R. 20170908.1237.020. html ◇ 预防医学研究◇

镉处理对小鼠睾丸间质细胞 PI3K/AKT 信号通路的影响

姬艳丽12 刘洪茂1 穆柯瀚1 朱文祥2 徐德祥3

摘要 目的 探讨镉对小鼠睾丸间质细胞 3-磷酸肌醇激酶/ 蛋白激酶 B(PI3K/AKT) 信号通路的影响。方法 TM3 细胞 经 20 µmol/L CdCl, 处理 分别在加入 CdCl, 4 h 和 8 h 后收 集细胞; 对照组给予相应体积的 PBS & h 后收集细胞。利用 实时定量 RT-PCR 法测定炎症相关细胞因子白细胞介素 (IL) 40、肿瘤坏死因子(TNF)-α、IL-6、单核细胞趋化蛋白 (MCP) 4、巨噬细胞炎性蛋白(MIP) -2、MIP-1 和环氧合酶 (COX) -2 mRNA 的表达水平以及用 Western blot 法检测细胞 COX-2、AKT 和 p-AKT 蛋白的表达水平。结果 与对照组相 比 镉能够显著诱导 $TNF-\alpha$ 和 IL-6 mRNA 的表达(P <0.01); 镉处理 4 h 组 MCP-1 mRNA 表达水平明显高于对照 组(P<0.01) 而镉处理8h组MCP-1 mRNA表达水平与对 照组相比差异无统计学意义; 镉对 TM3 细胞 MIP-1 和 MIP-2 mRNA 表达差异无统计学意义; 镉能够明显诱导 TM3 细胞 COX-2 蛋白和 mRNA 的表达(P < 0.01)。此外 ,镉处理组 p-AKT 蛋白表达水平也明显高于对照组(P < 0.01)。结论 镉可能通过激活 TM3 细胞中 PI3K/AKT 信号通路进而选择 性调节部分炎症相关细胞因子的表达。

关键词 镉;睾丸间质细胞;炎症;3-磷酸肌醇激酶/蛋白激酶B

中图分类号 R 994.6

文献标志码 A 文章编号 1000 - 1492(2017) 11 - 1670 - 05 doi: 10.19405/j. cnki. issn1000 - 1492.2017.11.020

镉及其化合物是一种生物蓄积性强、毒性持久、 具有"三致"作用的重金属毒物^[1],被广泛应用于电 镀、合金和镍镉电池等工业生产中以及杀虫剂和磷 肥缓释剂等农业生产中^[2]。在日常生活中,一般人 群可以经饮水、食用受镉污染的食物和吸烟等途径 暴露于较低水平的镉^[3],这对人体健康形成很大的 潜在风险。一项体外研究^[4]表明,镉处理可以显著

2017-07-07 接收

基金项目: 国家自然科学基金(编号: 31571557); 2016 年高校优秀 中青年 骨 干 人 才 国 外 访 学 研 修 重 点 项 目 (编 号: gxfxZD2016039); 安徽医科大学"青年拔尖人才支持计划"

作者单位: 安徽医科大学公共卫生学院¹ 劳动卫生与环境卫生学系、² 卫生检验与检疫学系、³ 卫生毒理学系,合肥230032

作者简介: 姬艳丽 ,女 ,副教授 ,硕士生导师 ,责任作者 ,E-mail: jiyan-lidev@ 126. com

增加小鼠原代成骨细胞中环氧合酶(cyclooxygenase,COX)-2 的蛋白表达水平;另一项体外研究^[5] 也显示 在人原代单核细胞培养过程中给予氯化镉(CdCl₂)处理会刺激肿瘤坏死因子(tumor necrosis factor,TNF)- α 的表达;此外,镉暴露被证实可以诱导呼吸道上皮细胞中白细胞介素(interleukin,IL)-8的表达^[6]。以上的结果提示镉能够诱发炎症,但是其确切的作用机制目前尚不清楚。

该研究以体外培养的 TM3 细胞为研究对象,该细胞位于小鼠睾丸间质,分布于曲细精管之间的疏松结缔组织中,含量占睾丸细胞数量的 2% ~ 4% [7]。该实验对小鼠睾丸间质细胞进行镉染毒处理 通过相关方法检测细胞内 3-磷酸肌醇激酶/蛋白激酶 B(phosphatidylinositol 3-kinase/protein kinase B, PI3K/AKT) 信号通路中相关蛋白表达水平以及部分炎症相关细胞因子 mRNA 的表达水平,以探讨镉对 TM3 细胞 PI3K/AKT 信号通路的影响。

1 材料与方法

1.1 试剂与细胞株 CdCl₂购自美国 Sigma 公司; 逆转录和聚合酶链反应试剂盒(reverse transcriptionpolymerase chain reaction, RT-PCR) 购自美国 Promega 公司; TRIzol 试剂盒购自美国 Invitrogen 公司; PVDF 膜购自美国 Millipore 公司; 化学发光增强检 测试剂盒购自美国 Thermo 公司; β-actin、COX-2、p-AKT 和 AKT 抗体购自美国 Santa Cruz 公司; 18S、 COX-2、IL-6、IL-10、TNF-α、单核细胞趋化蛋白(monocyte chemotactic protein, MCP) 4、巨噬细胞炎性蛋 白(macrophage inflammatory protein, MIP) 4、MIP-2 和 COX-2 特异性引物由上海生工生物工程技术服 务公司合成; PBS 缓冲液以及 DMEM/F12 培养基购 自美国 Hyclone 公司; 胰蛋白酶、青霉素 - 链霉素溶 液、马血清及胎牛血清购自江苏碧云天生物技术有 限公司; 小鼠睾丸间质细胞系 TM3 细胞购自中国科 学院上海生命科学研究院。

1.2 培养条件和分组 TM3 细胞在 75 cm² 培养瓶中贴壁培养, DMEM/F12 培养基含 5% 灭活胎牛血

清、2.5% 灭活马血清以及 1% 青霉素 - 链霉素溶 液 置于 37 ℃、5% CO。培养箱中培养。取对数生 长期细胞 以 0.25% 胰蛋白酶消化 制成 1×10⁶/ml 细胞悬液。加样器接种细胞干 6 个 25 cm² 培养瓶 中 ,每组 2 瓶 ,每瓶加 10 ml 细胞悬液 ,置于 37 $^{\circ}$ 、 5% CO, 培养箱中培养 36 h, 待细胞长满后更换培 养基培养液开始染毒 ,CdCl。剂量为 20 μmol/L ,对 照组加相应体积的 PBS Ah后收细胞即为4h组, 再过4 h 后收对照组和8 h 组的细胞 此处收集的细 胞用于 Western blot 实验; 加样器接种细胞于 12 个 25 cm² 培养瓶中,每组4瓶,每瓶加10 ml细胞悬 液 置于 37 ℃、5% CO₂ 培养箱中培养 36 h ,待细胞 长满后开始染毒 8 h 组和对照组 ,CdCl。剂量为 20 μmol/L 对照组加相应体积的 PBS A h 后收细胞为 4 h 组 再过4 h 后收对照组和8 h 组的细胞 此处收 集的细胞用于 RT-PCR 实验。

- 1.3 Western blot 检测蛋白的表达 按照参考文 献^[8]方法利用 RIPA 提取液提取细胞总蛋白后 ,采 用 BCA 试剂盒法进行蛋白定量。每孔上 15 μg 蛋 白 进行垂直电泳(浓缩胶电压 60 V ,分离胶电压 120 V) 2.5 h,再以平行电泳的方式将凝胶中的蛋 白条带转移到 PVDF 膜上。转移有蛋白的 PVDF 膜 在5%的脱脂牛奶中放在4℃冰箱中封闭过夜。 PVDF 膜分别用一抗(β-actin: 1:4000 \p-AKT: 1: 1 000、AKT: 1:1 000、COX-2:1:1 000) 室温孵育1 ~3 h。洗涤后的 PVDF 膜用辣根过氧化物酶标记 的山羊抗小鼠 IgG(β-actin: 1:100 000)、山羊抗兔 IgG(p-AKT: 1: 80 000 \ AKT: 1: 80 000 \ COX-2: 1: 100 000) 于摇床上室温孵育 1~2 h。洗涤后的 PVDF 膜采用化学发光显影仪检测目的蛋白的表达 水平。以目的蛋白条带的灰度值与内参蛋白条带的 灰度值的比值表示目的蛋白的相对表达量。
- 1.5 统计学处理 采用 SPSS 16.0 软件进行分析。 实验数据均以 $\bar{x} \pm s$ 表示。单因素方差分析(oneway ANOVA) 检验各组之间的差异有无统计学意

义 组间比较采用 LSD 法。以 P < 0.05 为差异有统计学意义。

表 1 实时定量 PCR 引物的基因序列

基因	基因序列
18S	F: 5′-GTAACCCGTTGAACCCCATT-3′
	R: 5′-CCATCCAATCGGTAGTAGCG-3′
IL-10	F: 5′-GCTCCTAGAGCTGCGGACTGC-3′
	R: 5′-TGCTTCTCTGCCTGGGGCATCA-3′
TNF-α	F: 5′-CCCTCCTGGCCAACGGCATG-3′
	R: 5′-TCGGGGCAGCCTTGTCCCTT-3′
IL-6	F: 5'-AGACAAAGCCAGAGTCCTCAGAGA-3'
	R: 5′-GCCACTCCTTCTGTGACTCCAGC-3′
MCP-1	F: 5′-GGCTGGAGAGCTACAAGAGG-3′
	R: 5′-GGTCAGCACAGACCTCTCTC-3′
MIP-1	F: 5′-GCAACCAAGTCTTCTCAGCG-3′
	R: 5′-TGGAATCTTCCGGCTGTAGG-3′
MIP-2	F: 5′-TTGCCTTGACCCTGAAGCCCCC-3′
	R: 5′-GGCACATCAGGTACGATCCAGGC-3′
COX-2	F: 5′-GGGCTCAGCCAGGCAGCAAAT-3′
	R: 5′-GCACTGTGTTTGGGGTGGGCT-3′

2 结果

- **2.1** 镉处理对 **TM3** 细胞炎性因子 **mRNA** 表达的 影响 镉能够显著诱导 TNF- α 和 IL-6 mRNA 的表达($F = 72.42 \times 37.02$, P < 0.01); 而对 IL-10 mRNA 的表达影响差异无统计学意义。见图 1。
- 2.2 镉处理对 TM3 细胞趋化因子 mRNA 表达的 影响 镉处理 4 h 组 MCP-1 mRNA 的表达水平高于对照组(F = 40.89, P < 0.01),而镉处理 8 h 组 MCP-1 mRNA 表达水平与对照组相比差异无统计学意义; 镉对 TM3 细胞 MIP-1 和 MIP-2 mRNA 表达水平与对照组相比差异无统计学意义。见图 2。
- 2.3 镉处理对 TM3 细胞 COX-2 mRNA 和蛋白表达的影响 镉处理 4 h 和 8 h 组 COX-2 mRNA 的表达水平均明显高于对照组 差异有统计学意义 (F = 78.55, P < 0.01) ,见图 3。此外,Western blot 结果显示: 对照组、镉处理 4 h 和 8 h 组 COX-2 蛋白的灰度值分别为 (1.00 ± 0.01) 、 (2.53 ± 0.25) 和 (2.87 ± 0.21) ,镉处理 4 h 和 8 h 组 COX-2 蛋白表达水平也明显高于对照组 (F = 22.33, P < 0.01),见图 4。
- 2.4 镉处理对 TM3 细胞 p-AKT 蛋白表达的影响 Western blot 结果显示: 对照组、镉处理 4 h 和 8 h 组 p-AKT 蛋白的灰度值分别为(1.00 ± 0.04)、(9.19 ± 2.25)和(4.52 ± 0.53),镉能够诱导 AKT 的磷酸化,在 4 h 和 8 h 时差异有统计学意义(F=56.84, P<0.01)。见图 5。

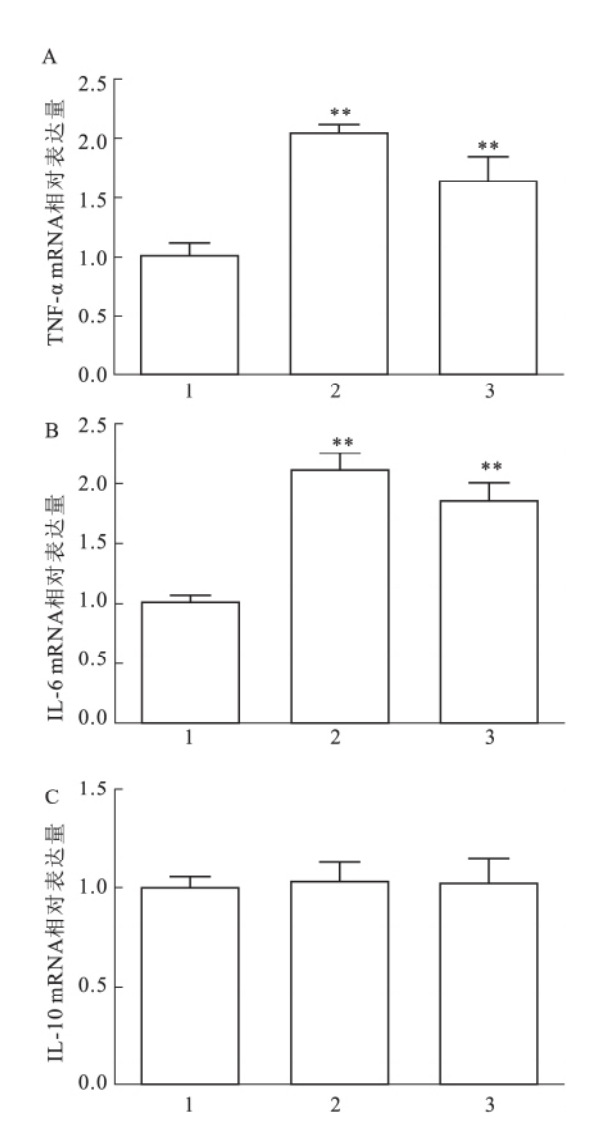


图 1 镉处理对 TM3 细胞炎性因子 mRNA 表达的影响 A: TNF-α; B: IL-6; C: IL-40; 1: 对照组; 2: 4 h 组; 3: 8 h 组; 与对 照组比较: ***P* < 0. 01

3 讨论

研究 $[^{4-6},^{10}]$ 表明 在不同类型的细胞中 編对于不同细胞炎性因子和趋化因子表达的调节作用也不尽相同。本研究显示 ,TM3 细胞暴露于 $CdCl_2$ 一段时间后 ,TNF- α 和 IL-6 mRNA 的表达水平均明显升高 ,m IL-10 mRNA 表达水平并没有受到影响。此外 ,MCP-1 mRNA 的表达水平在 4 h 时显著升高。以上实验结果提示 ,編选择性调节 TM3 细胞趋化因子和炎性因子的表达。

PI3K 家族成员属于原癌基因 ,是肌醇与磷脂酰 肌醇 (phosphatidylinositol , PI) 的重要激酶 ,正常情况下由 PI3K 活化而产生的类脂产物有以下三类: 3 ,

4-二磷酸磷脂酰肌醇 [PI (3 4) P2]、3 ,5-二磷酸磷脂酰肌醇 [PI (3 5) P2]以及3 ,4 ,5-三磷酸磷脂酰肌醇 [PI (3 ,4 ,5) P3],而 PI (3 ,4 ,5) P3 作为细胞内的第二信使,其又是AKT转位于胞膜并被活化

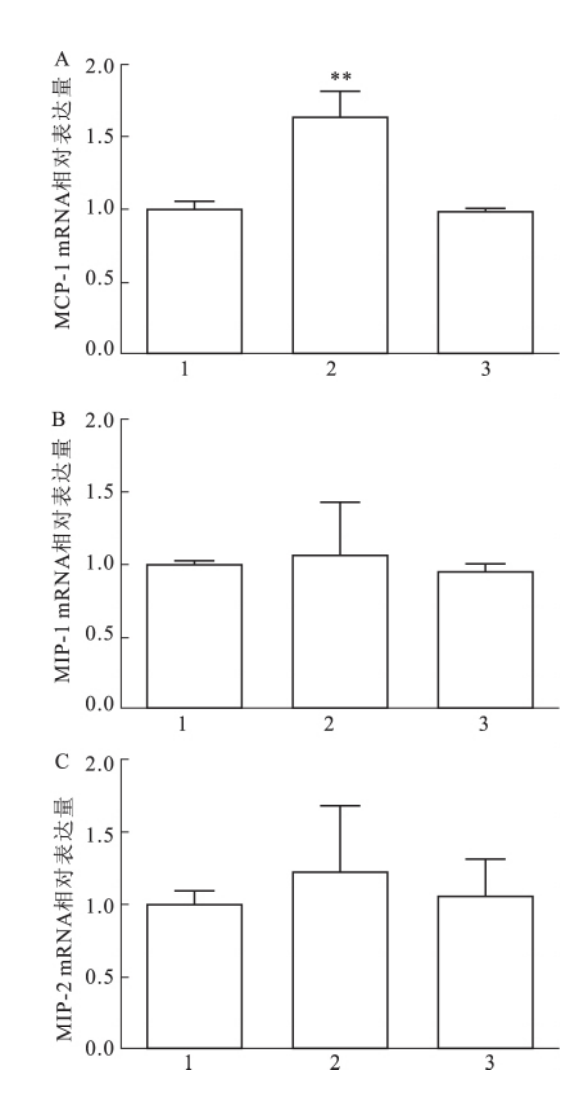


图 2 镉处理对 TM3 细胞趋化因子 mRNA 表达的影响 A: MCP-1; B: MIP-1; C: MIP-2; 1: 对照组; 2: 4 h 组; 3: 8 h 组; 与 对照组比较: ** P < 0. 01

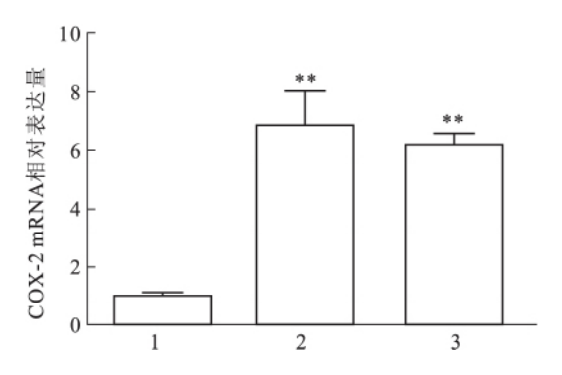


图 3 镉处理对 TM3 细胞 COX-2 mRNA 表达的影响 1: 对照组; 2:4 h 组; 3:8 h 组; 与对照组比较: ** P < 0. 01

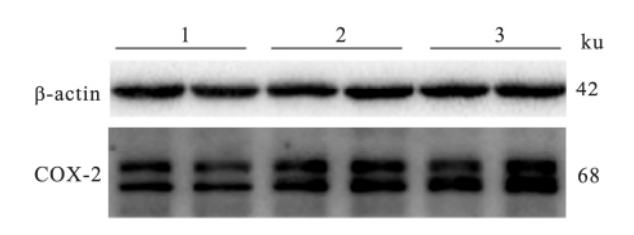


图 4 镉处理 TM3 细胞 COX-2 蛋白表达的影响 1: 对照组; 2: 4 h 组; 3: 8 h 组

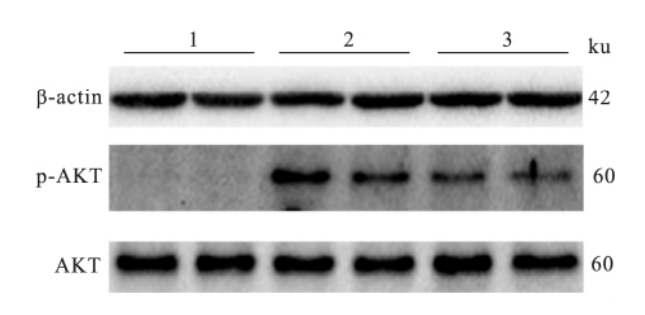


图 5 镉处理 TM3 细胞 p-AKT 蛋白表达的影响 1: 对照组; 2: 4 h 组; 3: 8 h 组

所必需的[11]。AKT 也被称为蛋白激酶 B ,是分子量 约为 60 ku 的丝/苏氨酸蛋白激酶,哺乳动物中的 AKT 是病毒原癌基因 v-AKT 的同源物 AKT 家族的 成员有三个亚型: AKT1、AKT2 和 AKT3。其中 AKT1 和 AKT2 在人体各组织中普遍表达,而 AKT3 的表达则具有组织特异性。AKT 是 PI3K 信号转导 通路中的一个重要分子 ,AKT 磷酸化水平的表达量 可以间接反映 PI3K 的活性。PI3K 和 AKT 组成的 PI3K/AKT 信号通路是细胞功能中一条重要的通 路 对包括生长、生殖、迁移和存活等都具有调控作 用[12]。PI3K/AKT 信号通路还是调控炎症表达的重 要通路之一[13]。 COX 又称为前列腺素合成酶 其是 花生四烯酸合成前列腺素的关键限速酶 ,主要有两 种异构体: 结构型 COX-1 和诱导型 COX-2。COX-1 在组织细胞中恒量表达,其主要的生理功能是催化 生理性前列腺素合成而参与机体生理功能调节; COX-2 一般在生理条件下无法检测到 ,其主要是在 病理情况下由一种或多种因素刺激产生,能促进相 关部位前列腺素合成,进而诱发相关部位产生炎症 相关因子而参与炎症[14]。而越来越多的研究[15-16] 表明 COX-2 是 PI3K/AKT 信号通路的下游靶基因, PI3K/AKT 信号通路的激活能够诱导 COX-2 的表 达。本实验研究的结果显示,CdCl。明显升高 TM3 细胞 p-AKT 的蛋白水平 同时显著诱导 COX-2 蛋白 和 mRNA 的表达水平。以上结果提示 CdCl, 能够激 活 TM3 细胞 PI3K/AKT 信号通路。

综上所述,镉可能通过激活 TM3 细胞中 AKT 的磷酸化水平来诱导 COX-2 的表达,进而选择性调节部分炎症相关细胞因子(如 IL-6、TNF-α、MCP-1)表达。然而,镉对众多炎症相关信号通路的确切作用机制目前尚不清楚,需要进一步探讨镉对 TM3 细胞促炎作用的分子机制。

参考文献

- [1] 丁文军,许 群. 国家污染物环境健康风险名录 化学第一分册[M]. 北京: 中国环境科学出版社, 2009: 197 204.
- [2] Hellström L, Persson B, Brudin L, et al. Cadmium exposure pathways in a population living near a battery plant [J]. Sci Total Environ, 2007, 373(2-3): 447-55.
- [3] Byrne C, Divekar S D, Storchan G B, et al. Cadmium-a metallo-hormone [J]. Toxicol Appl Pharmacol, 2009, 238(3): 266-71.
- [4] Romare A Lundholm C E. Cadmium-induced calcium release and prostaglandin E2 production in neonatal mouse calvaria are dependent on COX-2 induction and protein kinase C activation [J]. Arch Toxicol , 1999 , 73 (4-5): 223-8.
- [5] Haase H, Ober-Blöbaum J L, Engelhardt G, et al. Cadmium ions induce monocytic production of tumor necrosis factor-alpha by inhibiting mitogen activated protein kinase dephosphorylation [J]. Toxicol Lett, 2010, 198(2): 152-8.
- [6] Cormet-Boyaka E , Jolivette K , Bonnegarde-Bernard A , et al. An NF-κB- independent and Erk1/2-dependent mechanism controls CXCL8/IL-8 responses of airway epithelial cells to cadmium [J]. Toxicol Sci ,2012 ,125(2): 418 – 29.
- [7] Chen H, Ge R S, Zirkin B R. Leydig cells: from sterm cells to aging [J]. Mol Cell Endocrinol, 2009, 306(1-2): 9-16.
- [8] 刘洪茂,穆柯瀚,姬艳丽,等.阴囊短暂、轻度热处理对小鼠睾丸应激反应的影响[J].安徽医科大学学报,2016,51(4):
- [9] 冷银芝,李应配,罗时猛,等.双酚 A 对小鼠 3T3-L1 前脂细胞分化的影响 [J].安徽医科大学学报,2016,51(9):1281
- [10] Huang Y Y , Xia M Z , Wang H , et al. Cadmium selectively induces MIP-2 and COX-2 through PTEN-mediated Akt activation in RAW264.7 cells [J]. Toxicol Sci , 2014 , 138(2): 310 21.
- [11] 黄秀兰,崔国辉. PI3K/AKT 信号通路与肿瘤细胞凋亡关系的研究进展[J]. 癌症,2008,27(3): 331-6.
- [12] Marwick J A , Chung K F , Adcock I M. Phosphatidylinostol 3-kinase isoforms as targets in respiratory disease [J]. Ther Adv Respir Dis , 2010 , 4(1): 19 34.
- [13] Låg M, Rodionov D, Ovrevik J, et al. Cadmium-induced inflam-matory responses in cells relevant for lung toxicity: Expression and release of cytokines in fibroblasts, epithelial cells and macrophages
 [J]. Toxicol Lett, 2010, 193(3): 252-60.
- [14] Biswas S , Bhattacherjee P , Paterson C A , et al. Ocular inflammatory responses in the EP2 and EP4 receptor knockout mice [J]. Ocul Immunol Inflamm , 2006 , 14(3): 157 63.

(下转第1679页)

Indole compound GY3 induces cell apoptosis of breast cancer MCF-7 through AMPK /COX-2 pathway

Hu Chujiao , Zhou Bo , Yang Ying , et al (Guizhou Chemical Drug Research and Development Engineering Technical Center , Guizhou Medical University , Guiyang 550004)

Abstract *Objective* To investigate the effect of compound GY3 (GY3) on proliferation and apoptosis of breast cancer Michigan cancer foundation-7 (MCF-7) cells , and regulating downstream factors of adenosine 5′-monophos-phate-activated protein kinase/cyclooxygenase-2 (AMPK/COX-2) signal pathway. *Methods* MTT assay was used to measure the inhibition rate of different concentration of GY3 , 5-minoimidazole-4-carboxyamide ribonucleoside (AICAR) , celecoxib and AICAR combined with celecoxib on MCF-7 cells. Cell apoptosis rate was detected by FCM assay. The expressions of acetyl-coa carboxylase product of phosphorylation , phosphorylated acetyl-Co A carboxylase (P-ACC) and COX-2 were assayed in MCF-7 cells cultured with different concentration of GY3 and GY3 + Compound C by Western blot. *Results* GY3 inhibited MCF-7 cell growth in a concentration dependent manner (P < 0.01, P < 0.05). GY3 induced apoptosis of MCF-7 cells (P < 0.05). GY3 could increase P-ACC and down-regulate COX-2 expression (P < 0.01, P < 0.05). AMPK inhibitor Compound C could restore activation of AMPK and inhibition of COX-2 by GY3. *Conclusion* GY3 could inhibit COX-2 expression by activating AMPK , and subsequently induce apoptosis of MCF-7 cells.

Key words indole derivative compound; breast cancer; AMPK; COX-2; apoptosis

(上接第1673页)

[15] Foster J G , Blunt M D , Carter E , et al. Inhibition of PI3K signaling spurs new therapeutic opportunities in inflammatory/autoimmune disease and hematological malignancies [J]. Pharmacol Rev , 2012 ,64(4): 1024-54.

[16] Chen B C, Kang J C, Lu Y T, et al. Racl regulates peptidogly-can-induced nuclear facter-kappaB activation and cyclooxygenase-2 expression in RAW 264. 7 macrophages by activating the phosphatidylinositol 3-kinase/Akt pathway [J]. Mol Immunol, 2009, 46(6): 1179-88.

Effect of cadmium on PI3K/AKT signal pathway in mouse leydig cells

Ji Yanli^{1,2} ,Liu Hongmao¹, Mu Kehan¹, et al

(¹Dept of Occupational and Environmental Health , ²Dept of Inspection and Quarantine Health , School of Public Health , Anhui Medical University , Hefei 230032)

Abstract *Objective* To study the effects of cadmium on phosphatidylinositol 3-kinase/protein kinase B(PI3K/AKT) signal pathway in mouse leydig cells. *Methods* TM3 cells (mouse leydig cell line) were incubated with 20 μ mol/L CdCl₂ and collected cells at 4 h and 8 h after cadmium exposure. The control group was incubated with corresponding volume PBS and collected cells after 8 h. The mRNA expression levels of interleukin(IL) +10 , tumor necrosis factor(TNF) - α , IL-6 ,monocyte chemotactic protein(MCP) +1 ,macrophage inflammatory protein(MIP) +2 ,MIP+1 and cyclooxygenase(COX) +2 were detected by RT+PCR; the protein expression levels of COX+2 , AKT and p-AKT were measured by Western blot. *Results* Compared with the control group , cadmium significantly increased the mRNA expression levels of IL-6 and TNF- α (P < 0.01); the mRNA expression level of MCP+1 was also increased at 4 h group after cadmium exposure (P < 0.01) , however , cadmium did not affects the mRNA expression levels of MIP+1 and MIP+2 were observed between the control group and cadmium groups. Cadmium markedly upregulated the mRNA and protein levels of COX+2 in TM3 cells (P < 0.01). In addition , compared with the control group , the protein expression of p-AKT also was significantly increased in cadmium groups (P < 0.01). *Conclusion* These results suggest that cadmium could activate PI3K/AKT signal pathway which might partially contribute to cadmium-induced the secretion of some inflammatory cytokines in mouse testicular leydig cells.

Key words cadmium; leydig cell; inflammation; PI3K/AKT